

複合流域における低水流出の低減特性(その2)

名古屋大学工学部 正員 高木不折
名古屋大学大学院 学生員 ○加藤隆夫

1: はじめに:

筆者等は、先に長良川、上中流域を対象として、低水流出解析を行ない、被圧、不被圧地下水成分とも、それを初期状態の如何にかかわらず、1つの基準低減曲線に沿って流量が減少していくことを示した。しかし流域が大きくなると、性質を異とする流域を含むようになり、低減状態は必ずしも一定しない。本報は二つ以上の複合流域での低水の流出特性を明らかにするため、長良川上、中流域を対象として行った解析で、同時に先に高木が発表した、流域水に関する変分原理を実河川で検討しようとしたものである。

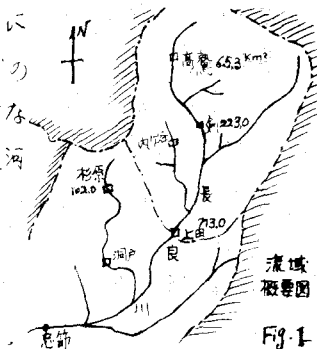


Fig. 1

2: 基礎的考察:

流域内部の地下水、河川水の挙動は Fig-2(b) の流域を考えると一般に、電節

$$\int L_g dx dt + \delta \int L_c ds dt = 0 \quad \dots \dots \dots (1)$$

と表わされる。ここで L_g , L_c は local Potential である。また、

$$L_g = \rho g \left[T \frac{\partial H^*}{\partial t} - T^* \frac{\partial H}{\partial t} + \sum_i (k T^* \frac{\partial T^*}{\partial x_i} - f_i T^*) \frac{\partial T}{\partial x_i} - r T \right]$$

$$L_c = \rho g \left[B \frac{\partial H^*}{\partial t} - Q \frac{\partial H}{\partial t} \right] \quad \text{である。上式中 *印は現実に起る}$$

る状態を示し、 T , H は T^* , H^* よりの仮想的変位 δT , δH を含めた

$T = T^* + \delta T$, $H = H^* + \delta H$ である。変分にはこの T , H のみが関与する

ものとする。さて、不被圧地下水の挙動は Fig-2(a) のモデルについて、

$$T(x, t, \lambda) = \frac{1}{\lambda(t+1)} \left\{ -\frac{\lambda}{2\beta} x^2 + (h_0 - H_0) \frac{\lambda}{L} + \frac{\lambda}{2\beta} \lambda + H_0 \right\} \quad \dots \dots \dots (2)$$

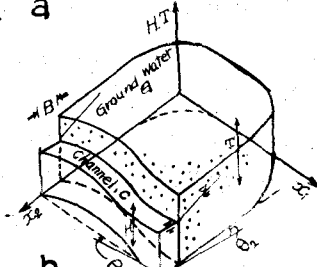
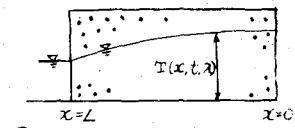


Fig. 2

$\lambda = \frac{2\beta}{L^2} (H_0 - h_0) = K \cdot \sqrt{J_{00}} \quad$ と表わされる。いま、複合流域が性質を異なる数ヶの単独流域から成るものとし、それぞれの単独流域での無降雨時の挙動は(2)式で表現されるものとする。その際、各単独流域の諸量を添字 s で表す。一方、複合流域でも(2)式の形式で地下水の挙動が表わされるものとすると、複合流域における λ の値は上の変分原理より算定される。すなわち、各単独流域での(2)式を(1)式に用い、それぞれの流域に応じて積分したのち、その和が淀留になるように λ の値を定めると、近似的に、

$$\lambda^* = \sum A_s \cdot K_s \cdot \frac{q_s^2}{A_s \cdot q_s} / \sum A_s \cdot q_s, \quad A_s \equiv \left(\frac{J_s}{R_{0s}} \right)^2 \cdot L_s^2 \left(\frac{H_{0s}}{h_{0s}} + 1 \right) \quad \dots \dots \dots (3)$$

となる。ここで q_s は初期時の合成流域からの流出流量(Q_{00})において、各単独流域から流出流量 q_{0s}

(の占める割合 $q_1 = Q_{uo1}, q_2 = Q_{uo2}$ である。対象とした複合流域は長良川、上田上流流域であり、これが劍上流域(223 km^2)流域 1 、および、劍、上田両流域(490 km^2)流域 2 の二つの単独流域よりなると考えた。

表-1

3: 対象流域と水文資料

対象流域は、長良川、上田(223 km^2)、劍(223 km^2)、各地点の上流流域である。使用した資料は主として、過去10年間、中部電力株式会社で測定された日流量であり、必要に応じて雨量資料を用いた。(Fig-1)

No.	DATE	TURUGI Quo(m ³ /s)		KAMITA m ³ /s	
		K ₁	K ₂	K ₁	K ₂
1	S.40. 9.21	15.1	0.469	870	32.0
2	S.40. 7.17	14.1	0.412	820	34.0
3	S.39. 7.13	14.1	0.326	840	43.0
4	S.38. 9. 2	17.0	0.367	810	30.0
5	S.36. 11. 5	8.7	0.330	820	13.0
6	S.34. 11. 9	7.0	0.350	750	40.0
7	S.29. 10. 7	12.0	0.351	720	35.0
8	S.28. 10. 10	9.0	0.300	750	30.0

4: 解析結果

表-2

上記の流量観測は、劍、上田地盤しか測定されていないので、ここでは、この二地盤すなまち、複合流域との特性と流域 1 との特性から流域 2 におりる特性を推算して検討した。これらは、 $q_1 = Q_{uo1}, Q_{uo2}, q_2 = Q_{uo2} - Q_{uo1}$ であり、たゞ、 K_1 が上田、劍、どの伝減解析によると、各伝減時に依る求められる、未知数 A_1, A_2, K_2 は二つの伝減状態に属する式を連立に解けば求められる。この場合、(3)式は次のように表わされる。

$$K = \frac{A_1 q_1 K_1 + A_2 q_2 K_2}{A_1 q_1 + A_2 q_2}$$

Symbol (1)	1	2	3	4	5	6	7	8
1		453	364	479	368	479	347	352
2			329	468	369	392	339	119
3				390	368	324	277	371
4					368	324	277	407
5						369	339	362
6							290	430
7								344
8								

$$\text{Mean} = 344 \text{ m}^3/\text{日}$$

用いた低減状態は表-1に、計算結果の伝減率を表-2に示す。(表-2)からわかるように、 q_1, q_2 の値如何にかかわらず、 K_2 の値はほぼ一定である。いいかえれば、流域 1 からの流出も流域 2 の形で起こることおり、かつその場合の特性がほぼ一定であることである。こゝことは、各単独流域における低減特性があまり大きく変わなければ、複合流域における不被圧縮成成分低減特性が、各単独流域における特性の線型結合として表わされ、その場合の係数は降雨の場所的分布状態、いいかえれば、 q_1, q_2 によって定められる可塑性を示している。

5: あとがき

今回の解析では、二つの流域の合流だけして行なわれたが、もう一つ複雑な複合流域における伝減特性についても検討してみたいと思う。ただ、Fig-2, 2.0 のようなモデルが流域をどうえうる流域面積には限界があり、どのように合流域面積を各単独流域および流域原理の成立する複合流域として選ぶべきかという問題が残されている。

参考文献

1. 加藤、高木 S 43年、土木学会中部支部、長良川の流量低減特性に関する研究。
2. 高木 S 43年、土木学会、流域水の挙動に関する一考察。
3. 高木 S 44年、土木学会、複合流域における低水の低減特性。